

RMN

UN PO' DI STORIA

Nuclear Magnetic Resonance



Isidor Rabi



Felix Bloch



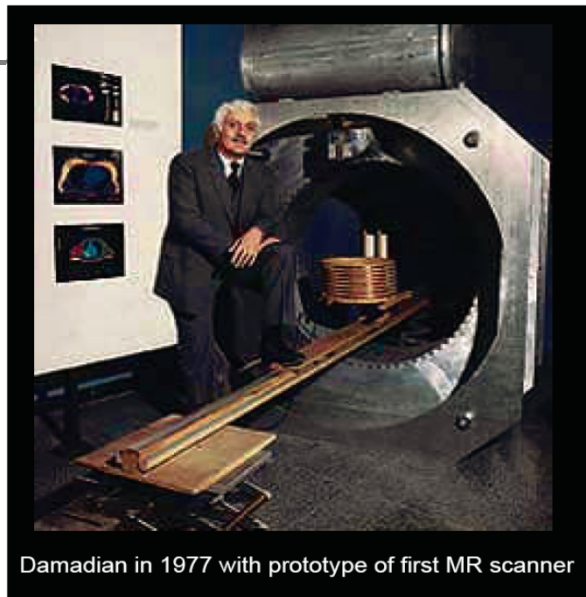
Edward Purcell

nuclear: properties of nuclei of atoms

magnetic: magnetic field

resonance: interaction between oscillating magnetic fields and atomic nuclei

Rabi (1944) and Bloch & Purcell (1952) win Nobel prizes for their contributions to NMR



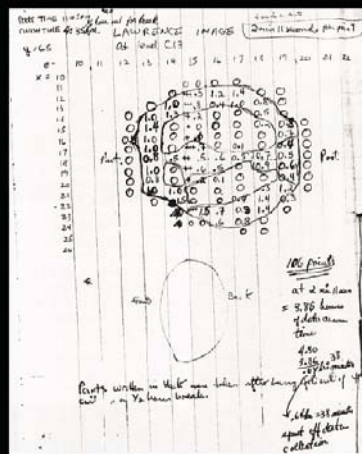
Damadian in 1977 with prototype of first MR scanner

First Human MR Image



© Fonar Corporation

Damadian's postdoc, Larry Minkoff



Source: Huettel et al. slides

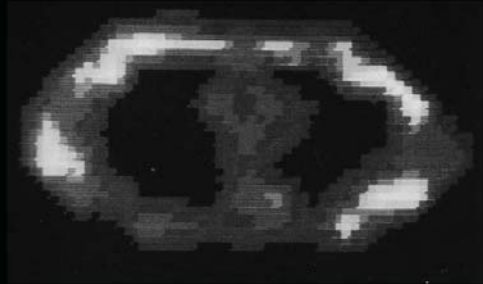
- 0.05T, only homogeneous in small volume at centre
- sampled image one voxel at a time, 2+ min/voxel *
- 106 voxels = 4 hours!

Source: Jody Culham's [fMRI for Dummies](#) web site



First Human MR Image

Human Abdominal MRI's 7/77
X=18, Y=2, Z=6K
Diagn. the 2 1/4" from belly button of
man to right of man's spine
FANTASTIC SUCCESS!
4:45AM First Human Image
Complete in Amazing Detail
Showing Heart
Lungs
Vertebrae
Musculature.

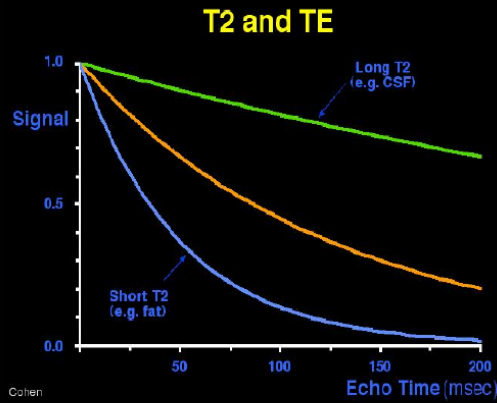


Source: Huettel et al. slides

BLOCH.EXE

T2 and TE

T2 = decay of transverse magnetization
TE (time to echo) = time to wait to measure T2

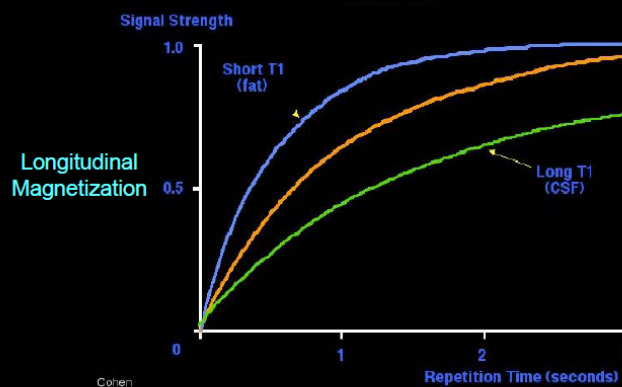


T1 and TR

T1 = recovery of longitudinal (B_0) magnetization

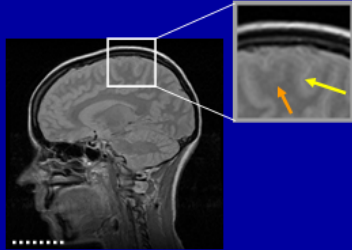
- used in anatomical images
- ~500-1000 msec (longer with bigger B_0)

TR (repetition time) = time to wait after excitation before sampling T1

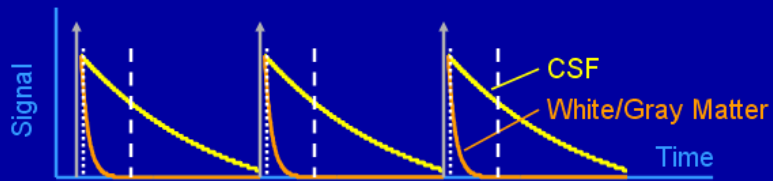
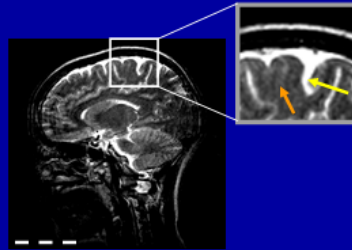


T₂ Contrast

Short Echo-Time



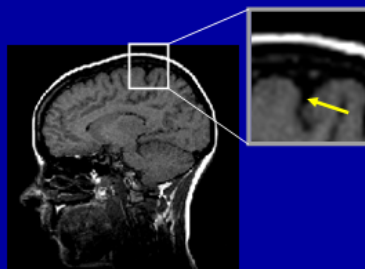
Long Echo-Time



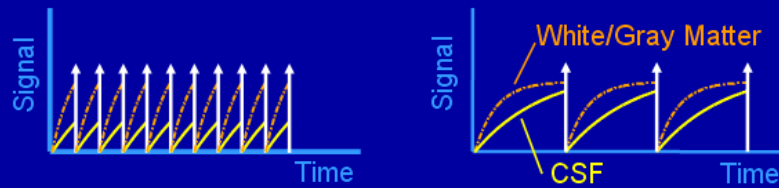
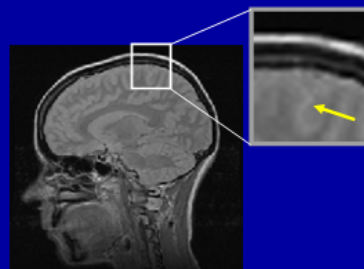
30

T₁ Contrast

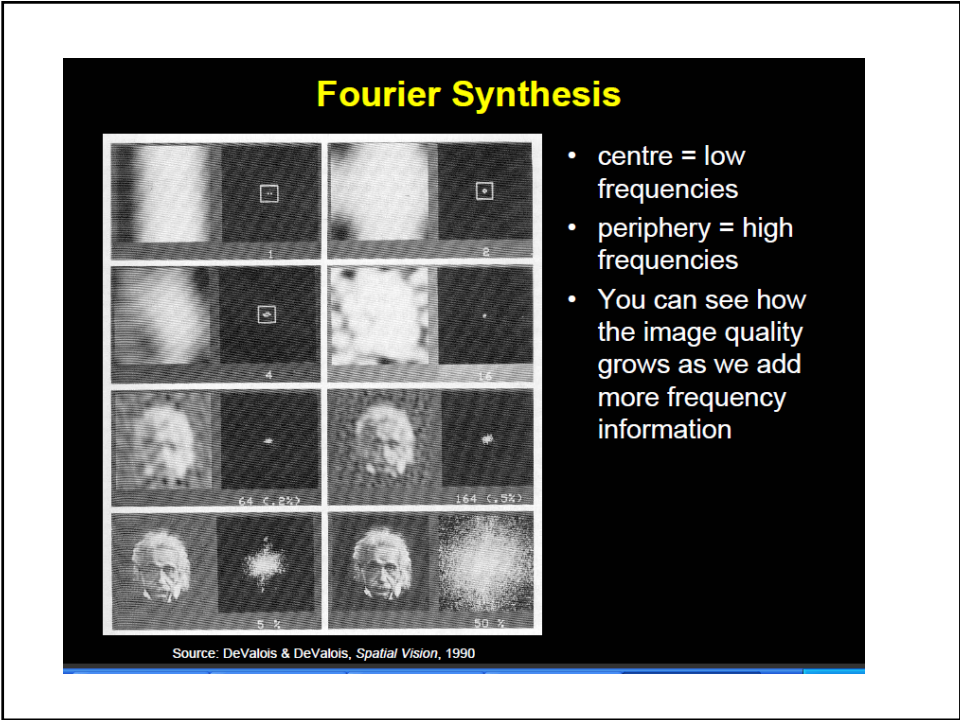
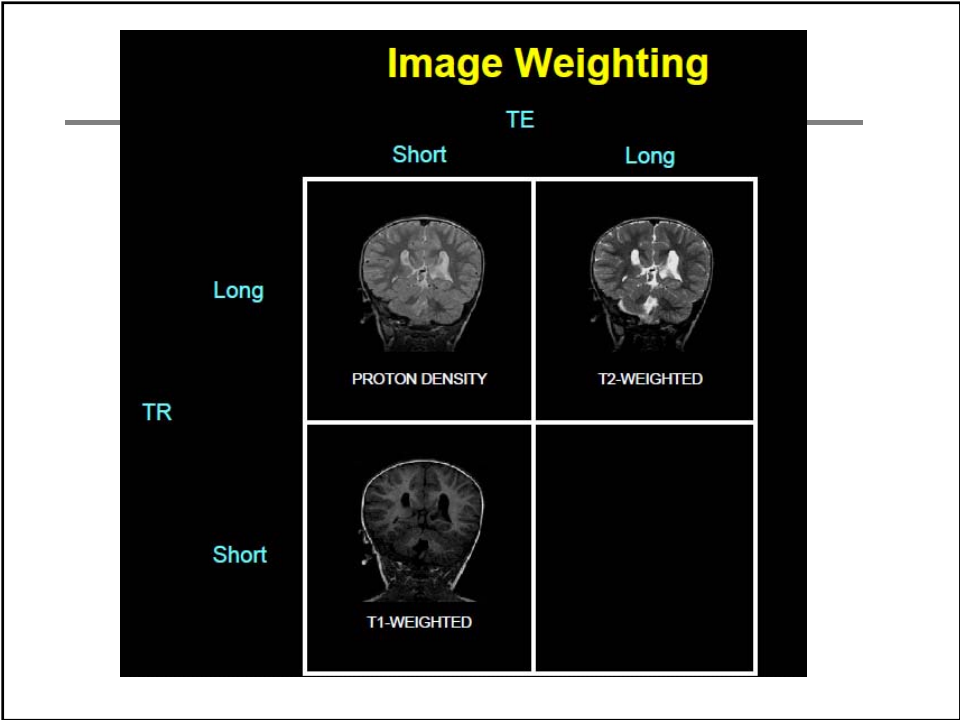
Short Repetition

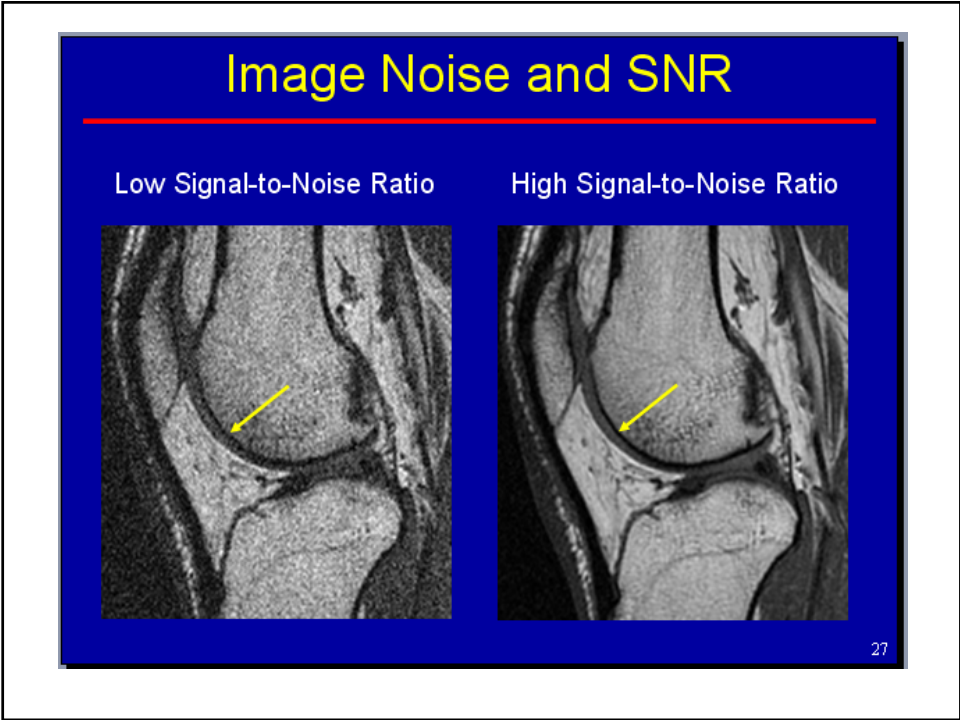
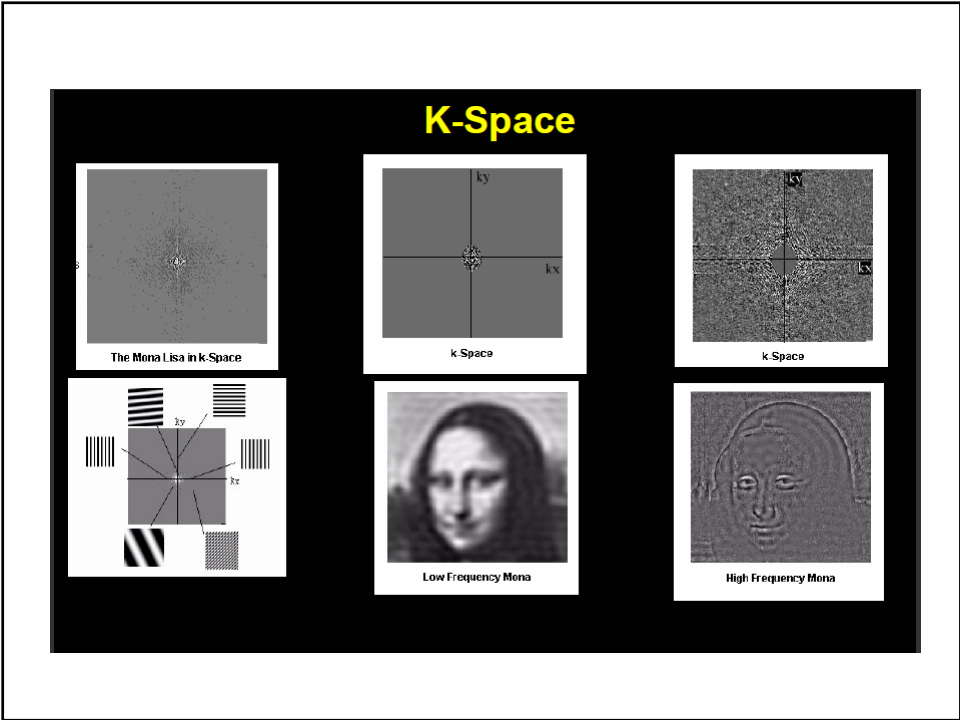


Long Repetition



31



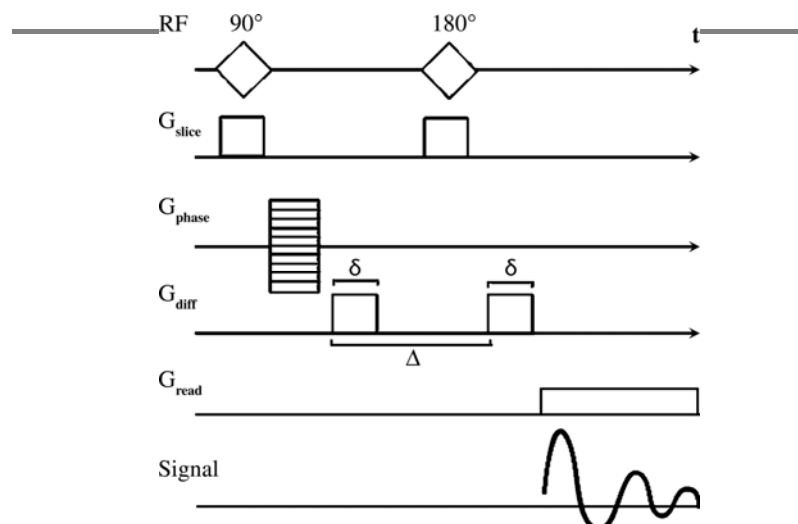


Diffusion MRI

Diffusion-weighted imaging (DWI)

- Confrontata con la classica spin eco la sequenza spin eco a gradiente impulsato che si usa per la diffusion MRI include due ulteriori gradienti di campo magnetico
- Per effetto del primo gradiente, i protoni in un pixel varieranno la loro velocità di un fattore che dipende dal valore del campo magnetico in quel pixel. Questa variazione di velocità darà luogo ad una perdita di coerenza.
- In seguito è applicato un altro gradiente nella stessa direzione ma di ampiezza opposta il quale tenderebbe a rifocalizzare (rifasare) gli spin.
- Tuttavia la rifocalizzazione non sarà perfetta perché, alcuni protoni (molecole d'acqua) hanno abbandonato, per diffusione, il voxel nel tempo che intercorre tra i due impulsi. Quindi il segnale misurato dalla macchina MRI sarà ridotto.

Figure 9. Diagram shows the pulsed gradient SE sequence used for diffusion MR imaging.



Hagmann P et al. Radiographics 2006;26:S205-S223

RadioGraphics

- La riduzione del segnale può essere correlata alla diffusione con un'equazione del tipo:

$$\frac{S}{S_0} = \exp(-bD)$$

- Dove S_0 è l'intensità del segnale senza i gradienti di diffusione, S è il segnale in presenza dei gradienti, D è il coefficiente di diffusione e b un parametro proporzionale al ritardo Δ tra i due impulsi.
- Maggiore è b maggiore è il decremento del segnale. D viene estrapolato effettuando più misure con diversi b (diversi Δ).

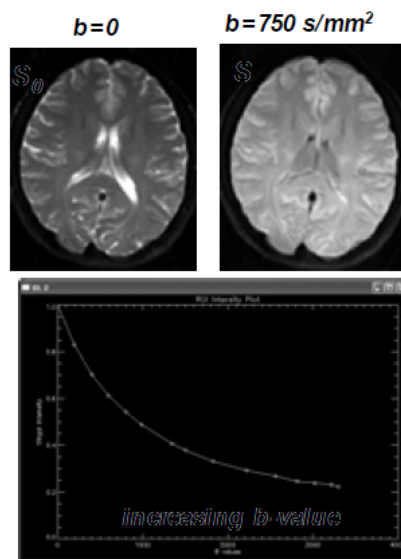
b-value vs. Signal

- ***MRI signals are sensitive to diffusion***

$$S = S_0 \exp(-bD)$$

b: b-factor

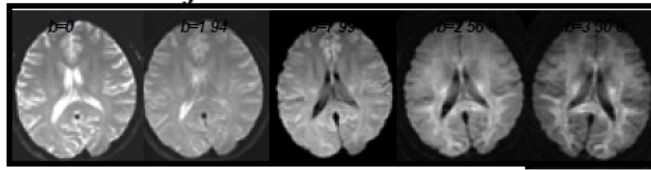
D: diffusion coefficient



Impact of b-value

- *For high b-value*
 - *better diffusion contrast*

- *For low b-value*
 - *better SNR*
 - *shorter TE*
 - *less artifacts*

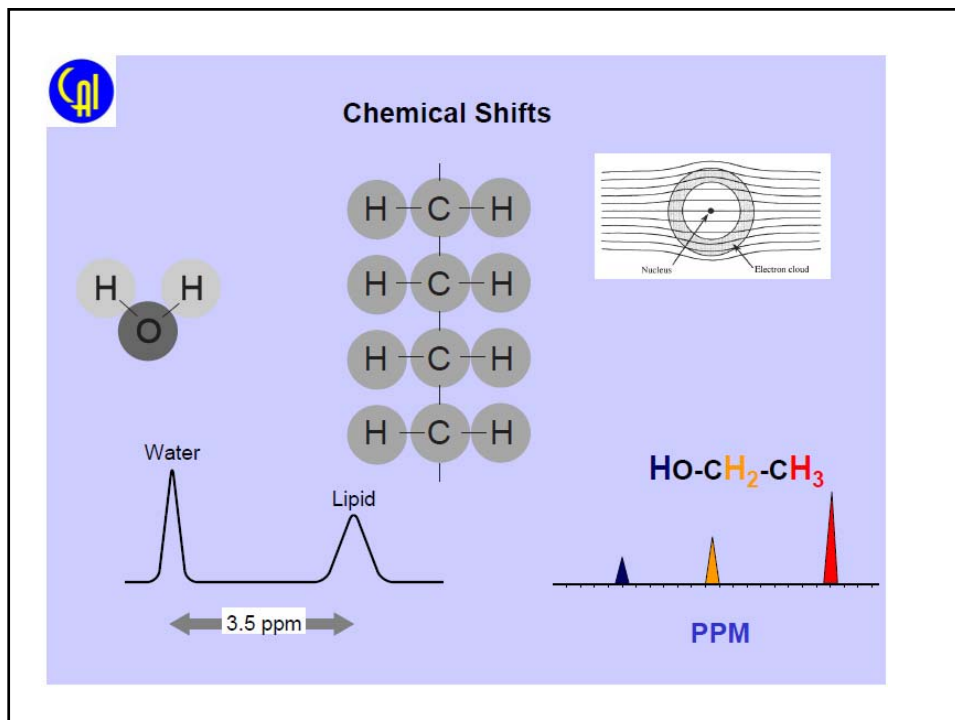


- *For most clinical use, $b = 750-1000 \text{ s/mm}^2$*

Nuclear magnetic resonance spectroscopy **MRS**

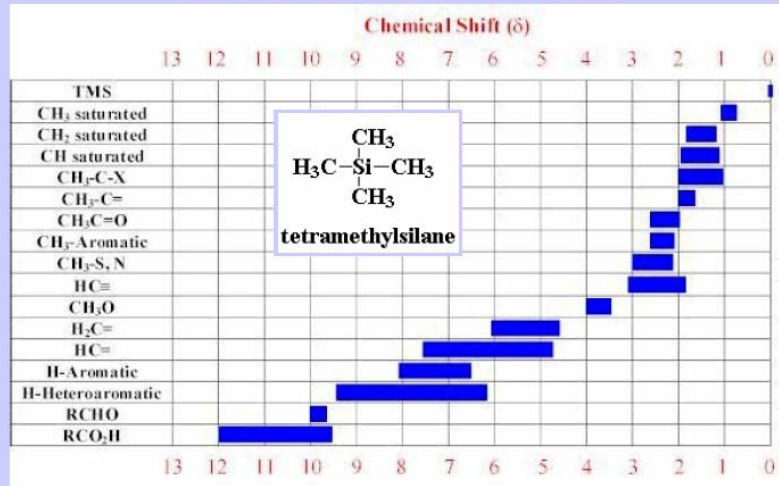
- I diversi protoni di una molecola possono risonare a frequenze leggermente diverse in funzione dell'ambiente chimico locale.
- Poiché sia lo shift in frequenza che la frequenza di risonanza fondamentale sono direttamente proporzionali all'intensità del campo magnetico lo shift è convertito in un parametro adimensionale noto come [chemical shift](#).
- il chemical shift è riportato come una misura relativa rispetto ad una assegnata frequenza di risonanza. In particolare per i nuclei ^1H , ^{13}C , and ^{29}Si , il TMS ([tetramethylsilane](#)) è comunemente utilizzato come riferimento.
- Il chemical shift è ottenuto facendo la differenza fra la frequenza di risonanza dell'elemento e la frequenza del riferimento e dividendo il risultato per la frequenza del riferimento

- Gli shift che si ottengono sono estremamente piccoli rispetto alla fondamentale frequenza della RMN. Un tipico shift in frequenza è dell'ordine dei 100 Hz confrontato con una frequenza fondamentale di 64 MHz
- Per questo motivo lo shift chimico è generalmente espresso in parti per milione (ppm).
- Per poter rilevare differenze così piccole il campo magnetico applicato deve essere estremamente costante su tutto il volume del campione. A tal fine spesso si usano delle ulteriori bobine dette shims per migliorare l'omogeneità del campo.



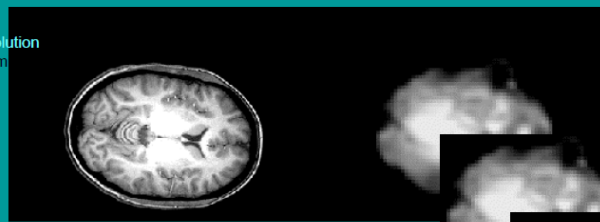


Proton Chemical Shifts



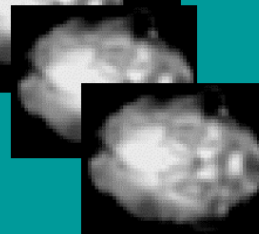
MRI vs. fMRI

high resolution
(1 mm)



one image

low resolution
but can be better



many images
(e.g., every 2 sec for 5 mins)

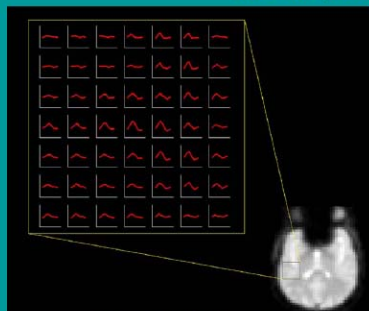
fMRI

Blood Oxygenation Level Dependent (BOLD) signal
indirect measure of neural activity

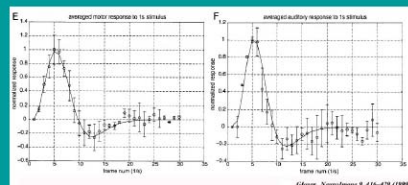
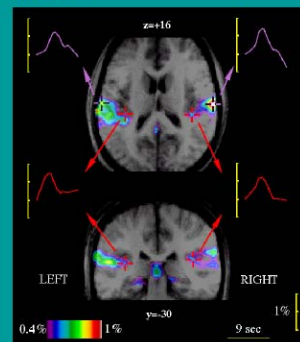
↑ neural activity → ↑ blood oxygen → ↑ fMRI signal

l'emoglobina de-ossigenata possiede infatti proprietà paramagnetiche, a differenza dell'emoglobina ossigenata. L'aumento di concentrazione di deossiemoglobina provoca quindi cadute di segnale RM, la sua diminuzione causa un aumento di segnale, permettendo così di utilizzare l'emoglobina come mezzo di contrasto endogeno nello studio delle regioni cerebrali coinvolte dalla funzione studiata.

Hemodynamic response



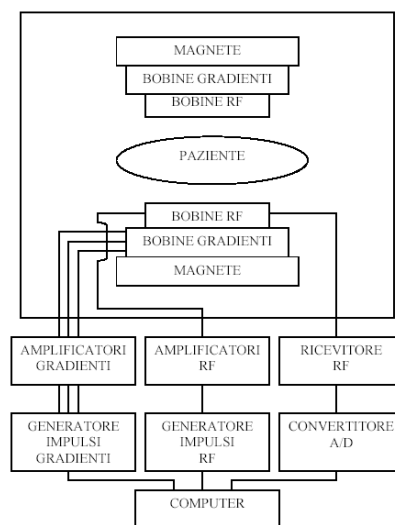
Belin et al. (1999) Neuroimage



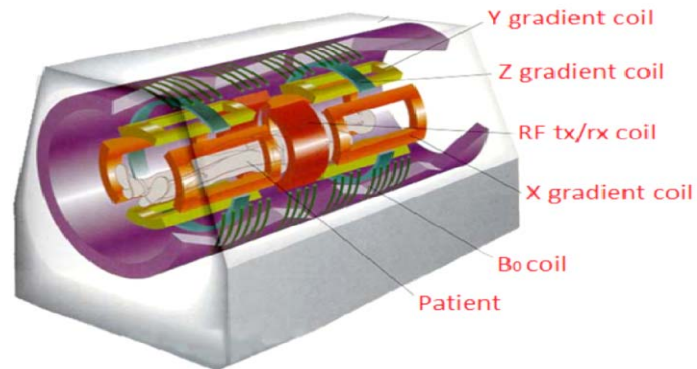
- BOLD signal maximum 3-5 sec after sound onset
- returned to baseline 6-9 sec after sound onset

ANTENNE NEI SISTEMI RMN

Struttura dei sistemi RMN

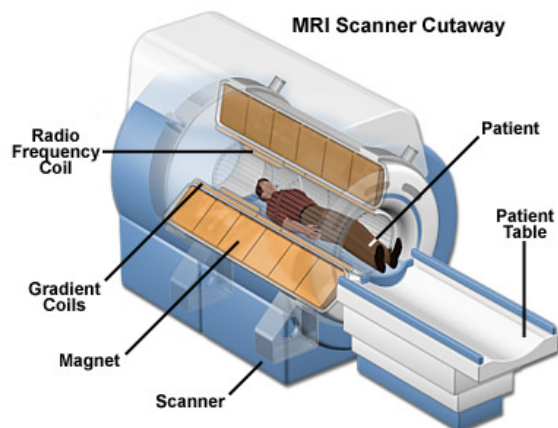


MRI Tomograph



- MRI tomographs are composed of five coils: one for the main static magnetic field B_0 , one for the RF transmission/reception, and three for the gradients

MRI Funzionamento e Struttura



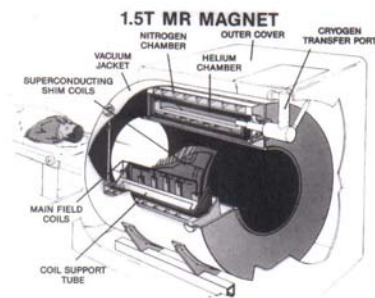
Magneti



elettromagnete

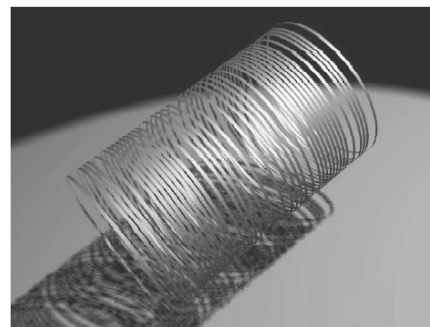
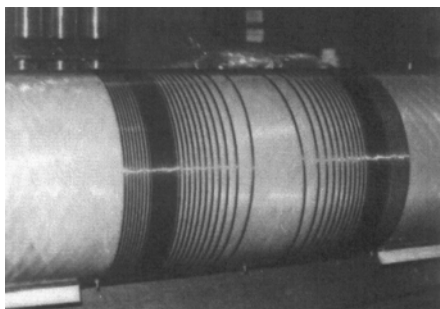
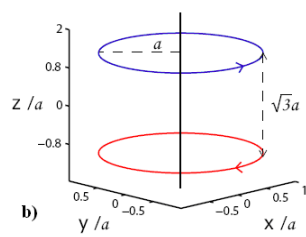


magnete resistivo

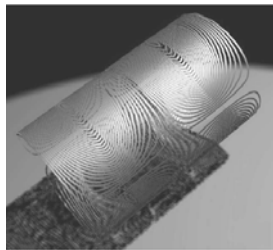
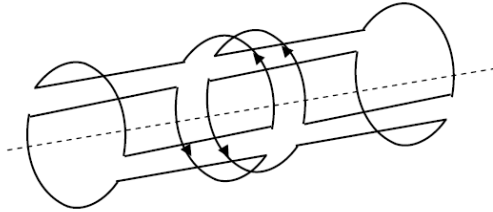


magnete superconduttore

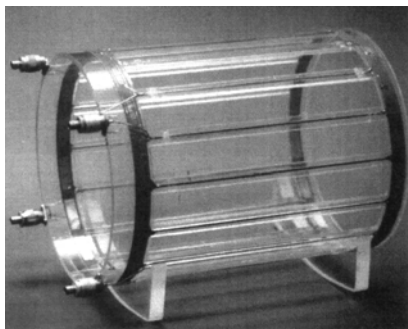
Bobine per gradiente z



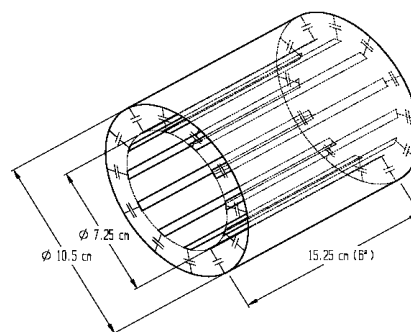
Bobine per gradiente x y



Bobine RF di volume



birdcage



TEM

Bobine RF di superficie (coils)



Bobine RF locali



A fast and accurate simulator for the design of birdcage coils in MRI

Giulio Giovannetti^{a,*}, Luigi Landini^b, Maria Filomena Santarelli^a, Vincenzo Positano^a

^a Institute of Clinical Physiology, National Council of Researches, Via Moruzzi 1, 56124 S. Cataldo, Pisa, Italy
^b Department of Information Engineering, University of Pisa, Pisa, Italy

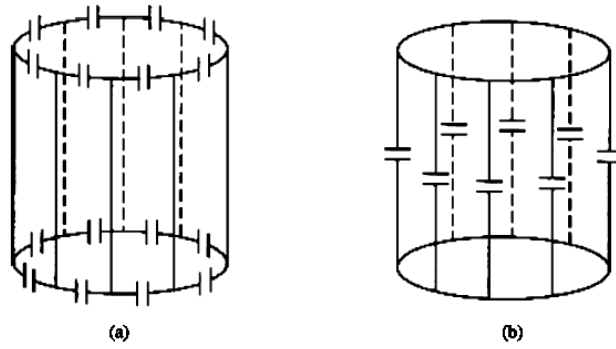


Fig. 1. (a) High-pass birdcage coil (b) Low-pass birdcage coil.

Modello circuitale

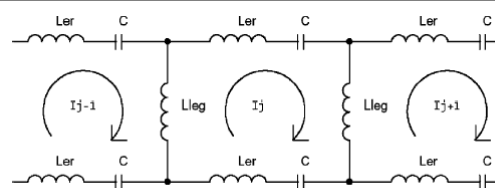


Fig. 2. Segment of the equivalent circuit for a high-pass birdcage coil.

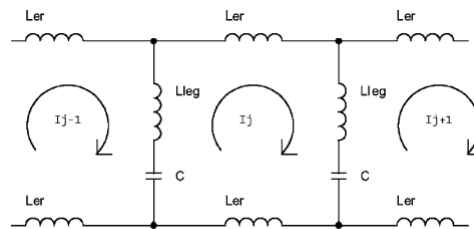
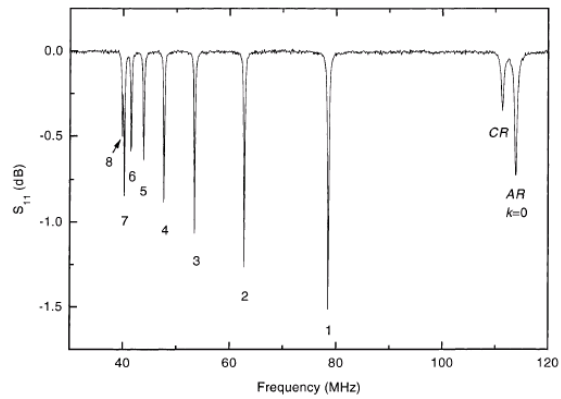


Fig. 3. Segment of the equivalent circuit for a low-pass birdcage coil.

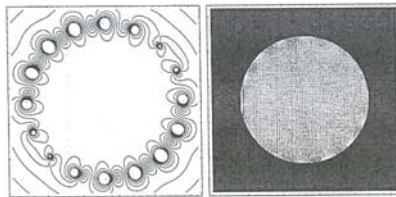
Versione semplificata

$$\omega_k = [C(Ler + 2Lleg \sin^2 \frac{\pi k}{N})]^{-1/2} \quad (k = 0, 1, 2, \dots, N/2)$$



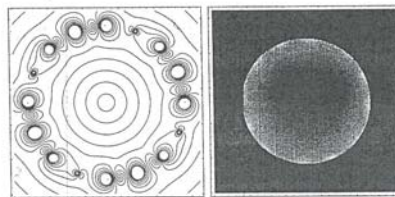
Mappe di campo Birdcage 16 Leg

modi



$k = 1$

(a)



$k = 3$

(b)

BirdcageBuilder: Design of Specified-Geometry Birdcage Coils with Desired Current Pattern and Resonant Frequency

CHIH-LIANG CHIN,¹ CHRISTOPHER M. COLLINS,¹ SHIZHE LI,²
BERNARD J. DARDZINSKI,³ MICHAEL B. SMITH¹

¹ Center for NMR Research, Department of Radiology, Pennsylvania State University, College of Medicine, Hershey, Pennsylvania 17033

² KC-Medical Advances Inc., Milwaukee, Wisconsin 53288

³ Imaging Research Center, Children's Hospital Medical Center, Cincinnati, Ohio 45229

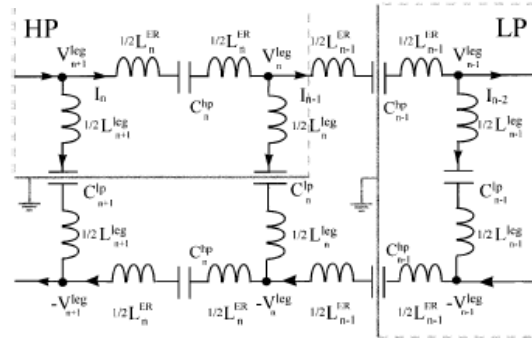
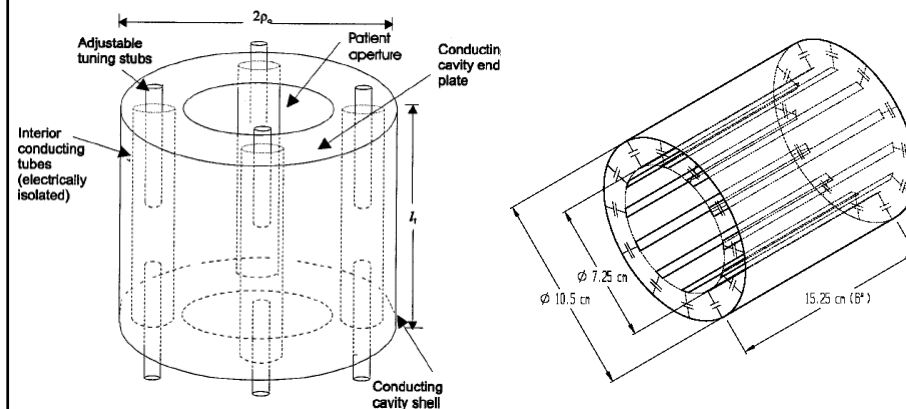
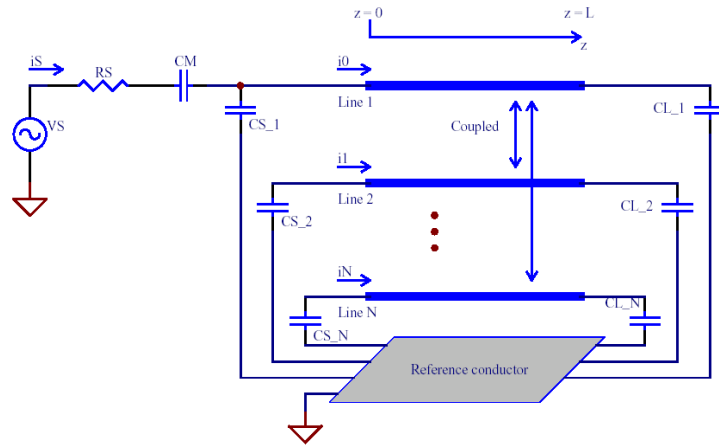


Figure 1 A circuit model for a band-pass birdcage coil design. The L_n and L_n^{ER} are the effective inductances of the n th leg and ER segment, respectively; C_n^{hp} and C_n^{lp} are the capacitances on the n th leg and ER segment, respectively; and I_n is the current intensity in the n th loop. The voltage at the end point of the n th leg is V_n^{leg} . When C_n^{hp} is given, the virtual ground is assumed at the middle of the legs (see the left box labeled HP); if C_n^{lp} is known, a virtual ground is inserted at the middle of the $(n - 1)$ th ER segments on both ER planes (see the right box labeled LP).

TEM coils



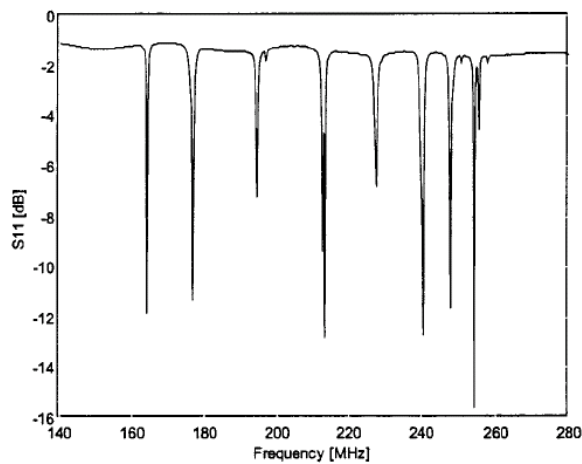
Modello per le TEM coils



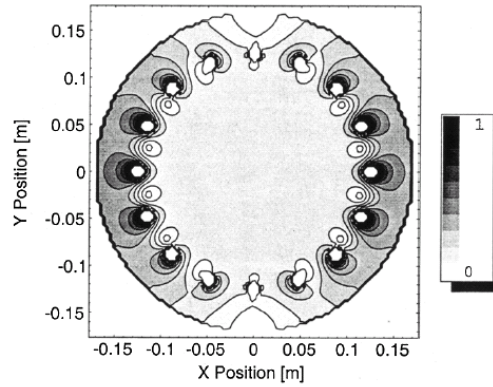
$$\frac{d}{dz} \underline{\mathbf{V}} = - \underline{\mathbf{Z}} \underline{\mathbf{I}} \quad \frac{d}{dz} \underline{\mathbf{I}} = - \underline{\mathbf{Y}} \underline{\mathbf{V}}$$

Frequenze di risonanza

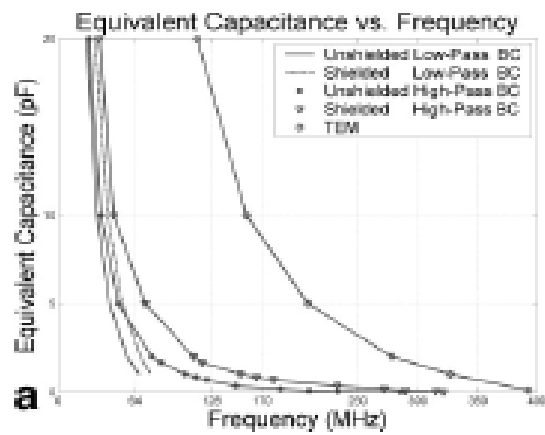
$$\prod_{n=1}^N (1 - \Gamma_n^+ \Gamma_n^- e^{-2\gamma l}) = 0 \quad \omega_n = -j\gamma_n$$



Mappe di campo TEM 16 elementi



Confronto Birdcage-TEM



Philips



Sistemi 1.5 T e 3 T



Siemens



Sistemi
1.5 T e 3 T

Sistemi 0.35 T



General Electric (GE)



1.5 T e 3 T



Open
0.2 T e 0.35 T

esaote

[corporate](#) [contatti](#) [news & ever](#)

[Ultrasuoni](#)

[RM Dedicata](#)

[Healthcare IT](#)

[Imaging Interventistico](#)

[Veterinaria](#)

[Soluzioni](#)



G-scan Brio

Un approccio RM rivoluzionario per tutte le applicazioni muscolo-scheletriche per diagnosi più precise e affidabili.



O-scan

Ecco a voi il miglior sistema per RM degli arti: O-scan garantisce eccezionale qualità di immagine, imaging semplice e facilità di utilizzo, in linea con la tradizione Esaote.



S-scan

Lo scanner RM dedicato S-scan rappresenta l'ultima evoluzione della tecnologia Esaote nell'ambito della tomografia RM.

Interazione RMN Portatori di pacemaker

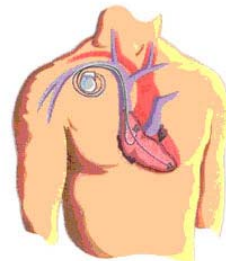
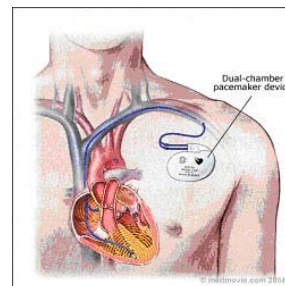


#Università degli Studi di Roma "La Sapienza"
Dipartimento di Ingegneria Elettronica
& Istituto Superiore di Sanità, Roma



Il pacemaker è costituito da un involucro in titanio e da un catetere che porta l'impulso elettrico al cuore passando attraverso il sistema venoso

Il pacemaker si applica a pazienti con patologie del tessuto cardiaco che ne abbiano compromesso la capacità spontanea a depolarizzarsi



ICNIRP Statement on: "Medical MR procedures: protection of patients" (2004)

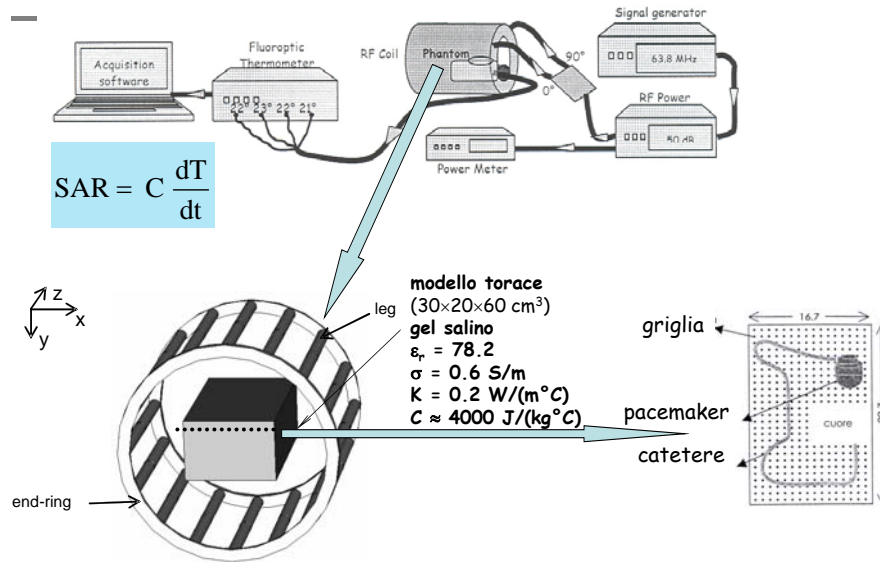
In Italia la RMN è preclusa per legge ai portatori di pacemaker

- No adverse health effects are expected if the increase in body core temperature is less than 1 °C
- Adverse effects are avoided if temperatures in localized regions of the head remain lower than 38 °C ($\Delta T < 1$ °C), lower than 39 °C in the trunk ($\Delta T < 2$ °C), less than 40 °C in the limbs ($\Delta T < 3$ °C)
- SAR_{WB} should not exceed 2 W/kg, local SAR (averaged over 10 g) is limited to 20 W/kg in the extremities and 10 W/kg in the head and trunk

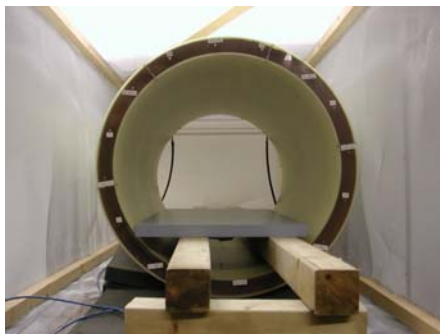
Electrotechnical Commission (IEC) 2010

- The International Electrotechnical Commission (IEC) considers that, to prevent tissue damage in the body, the radiofrequency field should induce temperature increases in the body core lower than 0.5 °C for normal operating mode and 1 °C for first level controlled operating mode, where medical supervision of the patient is required.
- Moreover, local tissue temperature should not exceed 39 °C and 40 °C for normal and first level controlled operating modes, respectively.
- Consequently, limitations have been reported with reference to the specific absorption rate (SAR). In particular, the whole body SAR (SAR_{WB}) should not exceed 2 W/kg and 4 W/kg in normal and first level controlled operating modes, respectively.

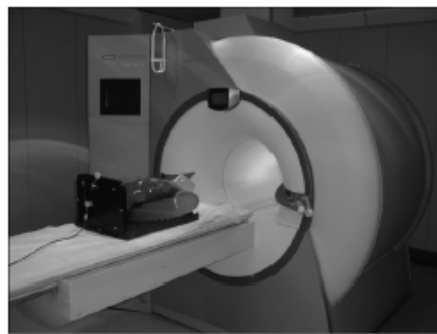
Setup sperimentale ISS



MRI Apparatus

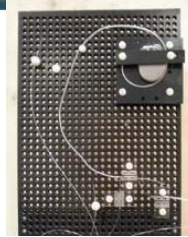
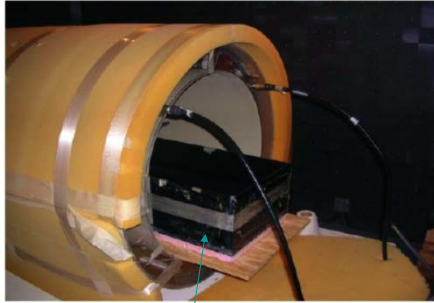


MRI apparatus:
 Birdcage Coil (64 MHz)
 ISS



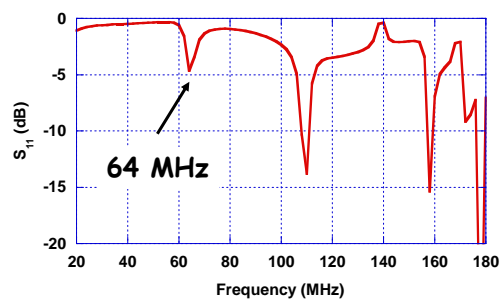
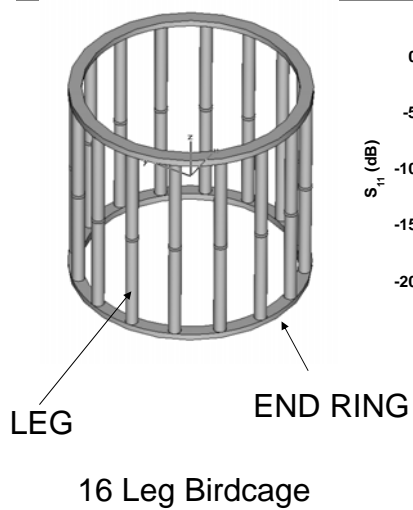
MRI apparatus:
 Siemens Magnetom Sonata Maestro
 (1.5 T – 64 MHz)
 Mater Dei Hospital in Rome

Birdcage and Phantoms



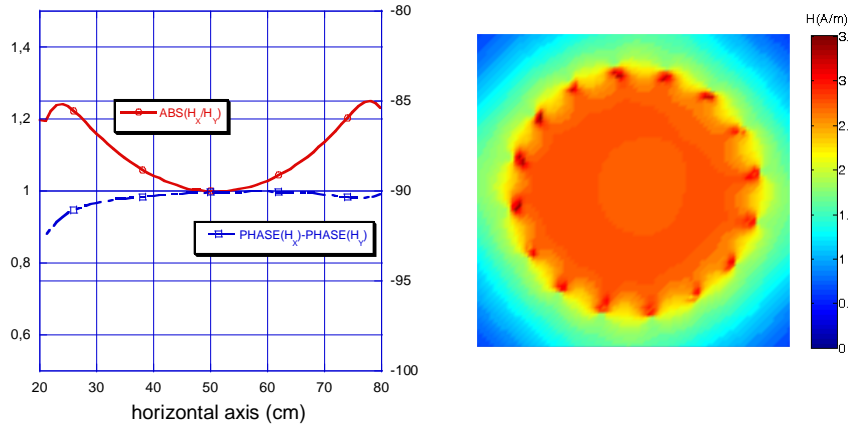
Physical phantom
 BOX ($30 \times 20 \times 60 \text{ cm}^3$) gelled saline material
 Electric properties: $\epsilon_r = 78.2$; $\sigma = 0.6 \text{ S/m}$
 Thermal conductivity = $0.2 \text{ W/(m}^\circ\text{C)}$
 Specific heat $\approx 4000 \text{ J/(kg}^\circ\text{C)}$

Birdcage Model



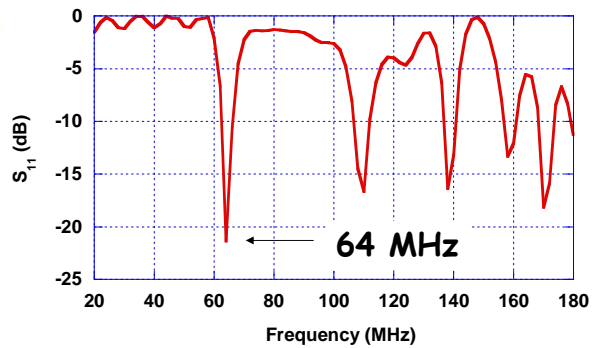
tuning capacitances of 0.3 pF
 at the leg center (low-pass birdcage)

Birdcage Magnetic Field

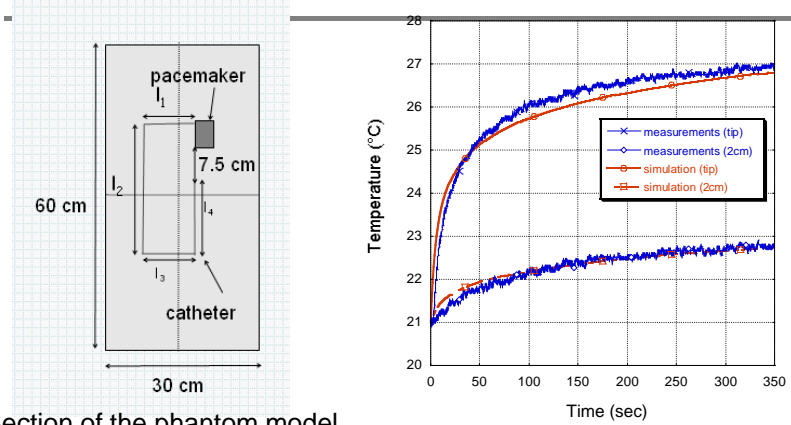


Birdcage and Box Model of the Thorax

The thorax is modeled as a dielectric box $30 \times 20 \times 60 \text{ cm}^3$
 Electric constants $\epsilon_r = 78.2$ $\sigma = 0.6 \text{ S/m}$



Birdcage, Thorax and PM Model

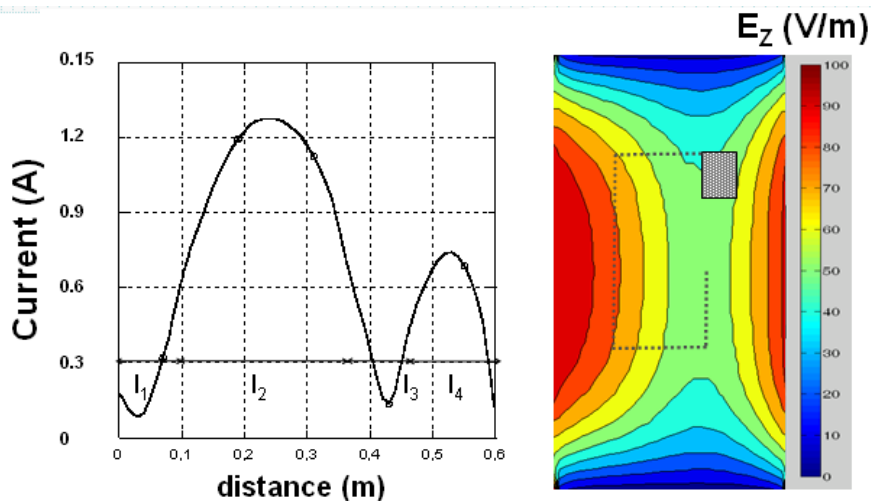


Section of the phantom model
1 cm below the phantom surface

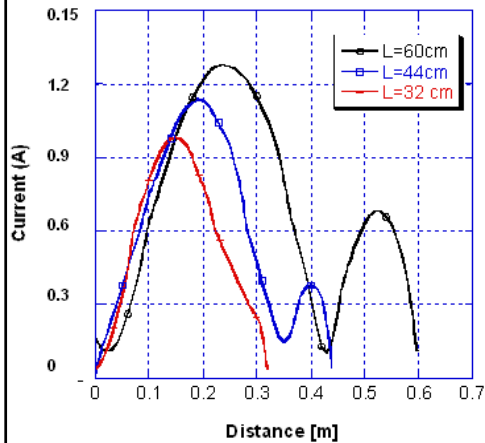
Radiated power 100 W at 64 MHz ($SAR_{WB} = 1 \text{ W/kg}$) $SAR_{PEAK} = 2400 \text{ W/kg}$

S. Pisa, G. Calcagnini, M. Cavagnaro, E. Piuze, E. Mattei, and P. Bernardi, "A study of the interaction between implanted pacemakers and the radio-frequency field produced by magnetic resonance imaging apparatus", *IEEE Trans. Electromag. Compat.*, vol. 50, no. 1, pp. 35-42, February 2008.

Current Along the Catheter



Influence of the Catheter Length



L = 60 cm -> SAR_{PEAK} = 2400 W/kg

L = 44 cm -> SAR_{PEAK} = 1400 W/kg

L = 32 cm -> SAR_{PEAK} = 1000 W/kg

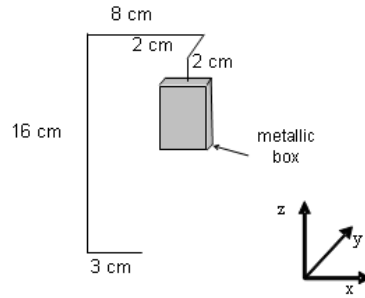
"NPAC Visible Human Viewer"



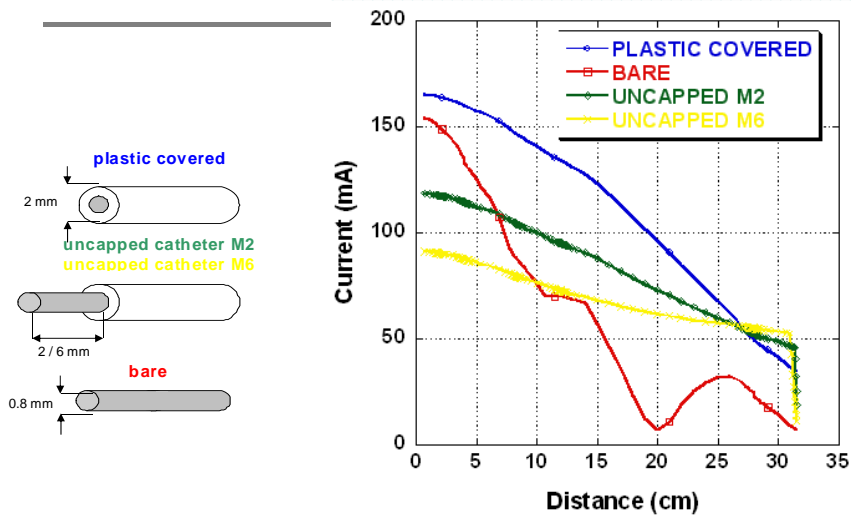
- Applet Java che consente di visualizzare le immagini fotografiche delle sezioni
- Le immagini originarie (sezioni orizzontali) sono state elaborate per ottenere anche le sezioni verticali. Si hanno quindi a disposizione sezioni assiali, sagittali e coronali

[http://rockefeller.univ-lyon1.fr/
VisibleHumanProjectEnglish/
VisibleHuman.html](http://rockefeller.univ-lyon1.fr/VisibleHumanProjectEnglish/VisibleHuman.html)

Birdcage and VH Model of the Thorax



Current Along the Catheter



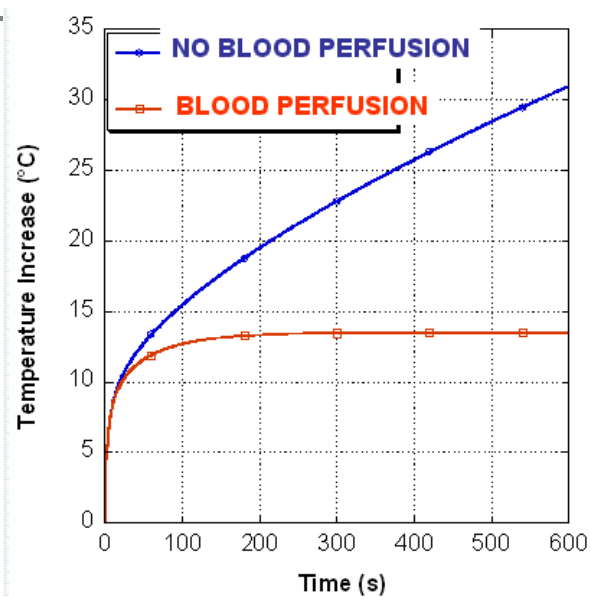
S. Pisa, P. Bernardi, M. Cavagnaro, and E. Piuze, and, "Power Absorption and Temperature Elevation Produced by Magnetic Resonance Apparatus in the Thorax of Patients With Implanted Pacemakers ", *IEEE Trans. Electromag. Compat.*, vol. 54, no. 1, February 2010.

SAR and Temperature Results

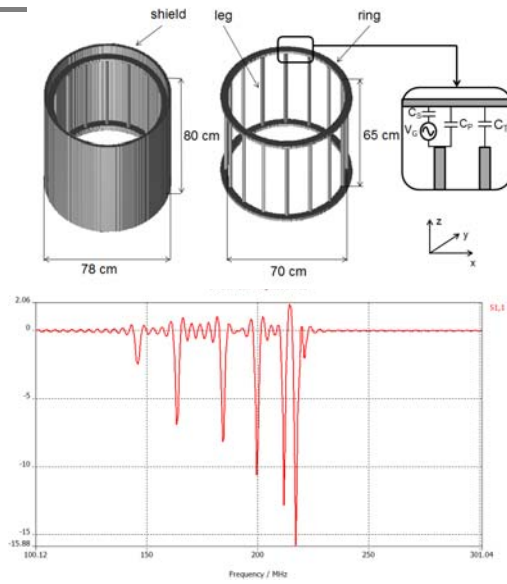
	Bare	UC-M6	UC-M2	PC
SAR_1 [W/kg]	15	700	2400	11900
SAR_{10g} [W/kg]	5.6	5.6	7.9	9.8
SAR_{WB} [W/kg]	0.5	0.5	0.5	0.5
Temp. Incr.* [°C]	0.2	1.9	5.8	13.5

* After 10 min exposure and in the presence of blood perfusion

Tempertaure at the Cateter Tip

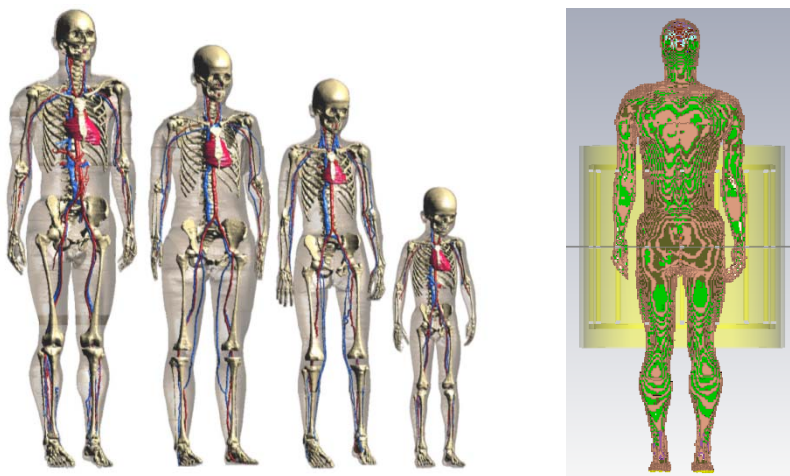


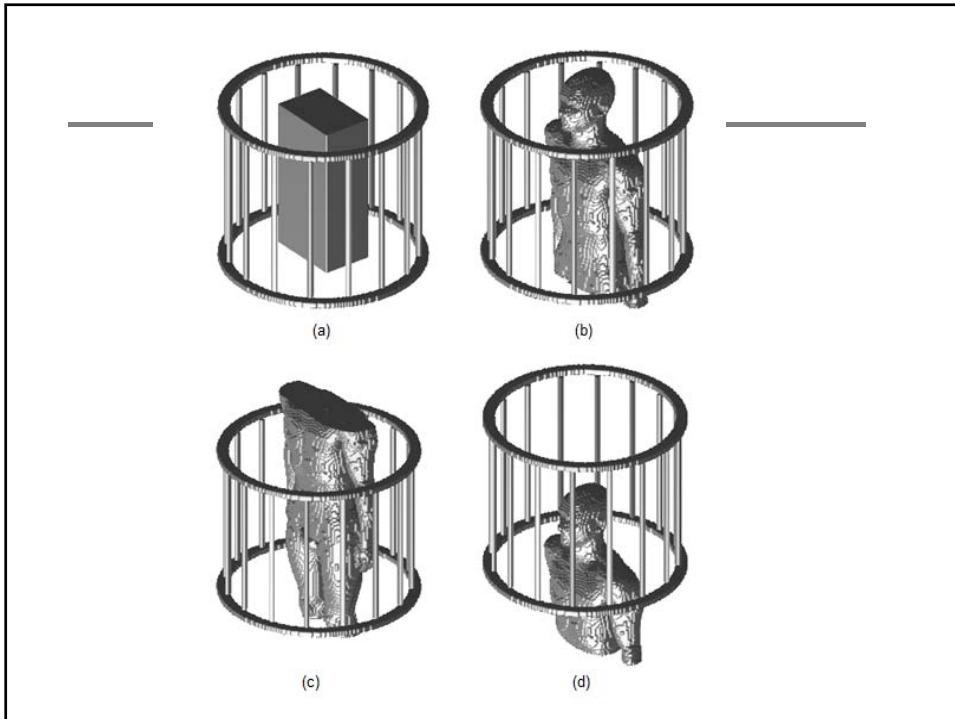
TEM Coils



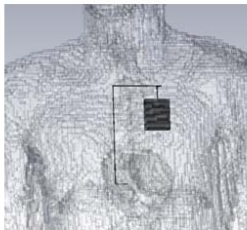
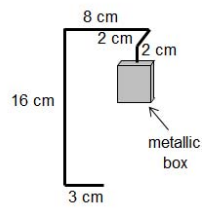
$N/2 + 1$
resonances

Virtual family

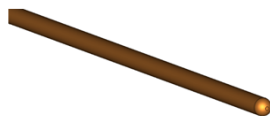




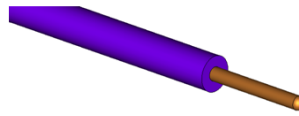
PM Implanted Inside Duke



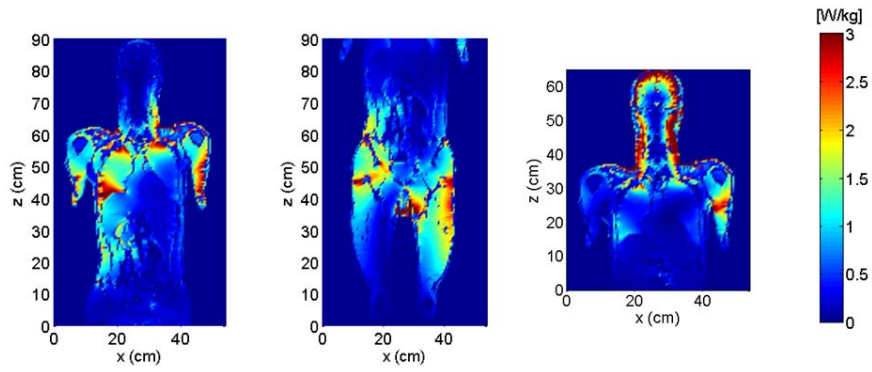
BARE



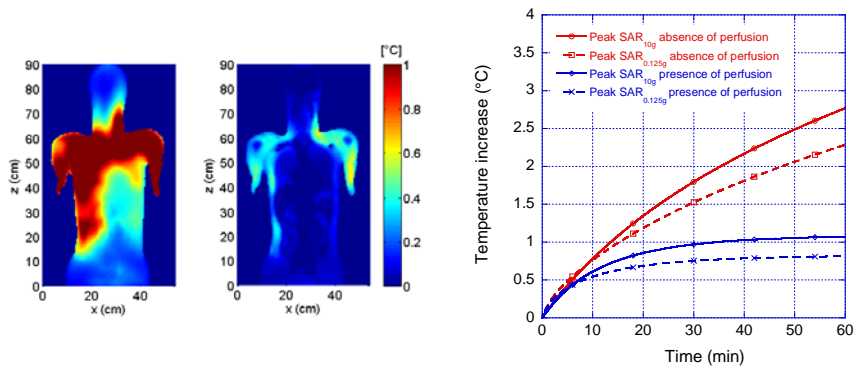
UC-6M



SAR Distribution Inside Duke



Temperature Distribution Inside Duke



SAR Distribution Inside Duke with pacemaker

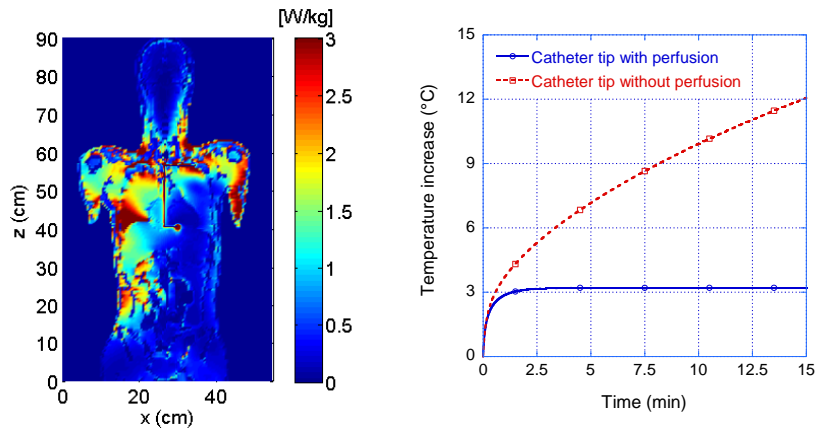


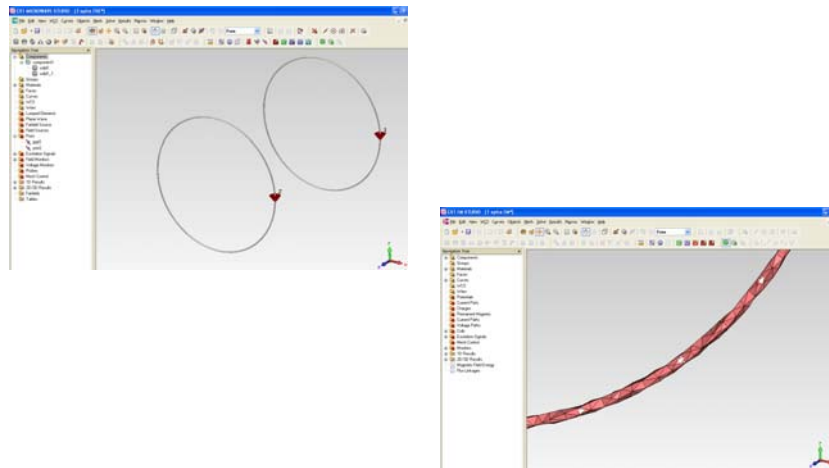
Table 1: Comparison between TEM coils operating at 128 MHz and Birdcage Coils operating at 64 MHz

		3 · T ₁ (128 MHz) TEM-Coil	1.5 · T ₁ (64 MHz) Birdcage-Coil
BOX	SAR _{WB}	1.0 W/kg	1.0 W/kg
//	SAR _{10g}	3.4 W/kg	2.9 W/kg
//	T _{MAX}	0.7 °C	0.6 °C
DUKE THOR	SAR _{WB}	0.49 W/kg	0.46 W/kg
//	SAR _{10g}	4.7 W/kg	4.4 W/kg
//	T _{MAX} (WP)	1.1 °C	0.9 °C
BOX + PM	SAR _{WB}	1.0 W/kg	1.0 W/kg
//	SAR _{10g}	16.6 W/kg	17.1 W/kg
//	T _{MAX}	53 °C	55 °C
D. THOR + PM	SAR _{WB}	0.49 W/kg	0.46 W/kg
//	SAR _{10g}	5.5 W/kg	14.0 W/kg
//	T _{MAX} (WP)	3 °C	8.3 °C

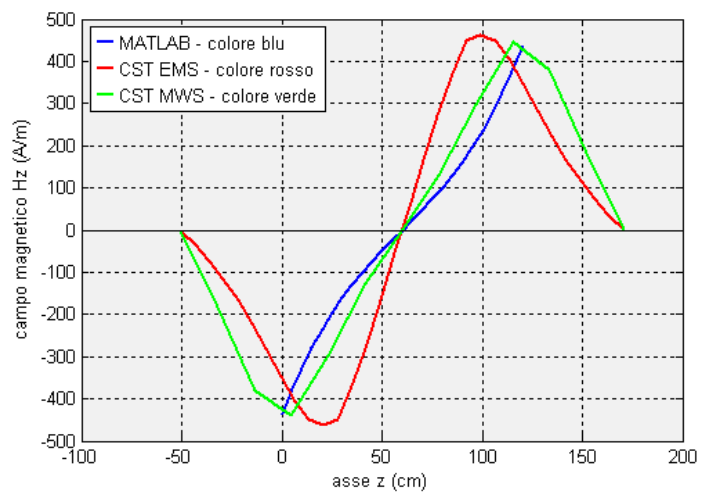
WP = with perfusion. T_{MAX} are temperatures after 15 min exposure.

1.2 A/m and
1.6 A/m
at 128 MHz
and 64 MHz,
respectively

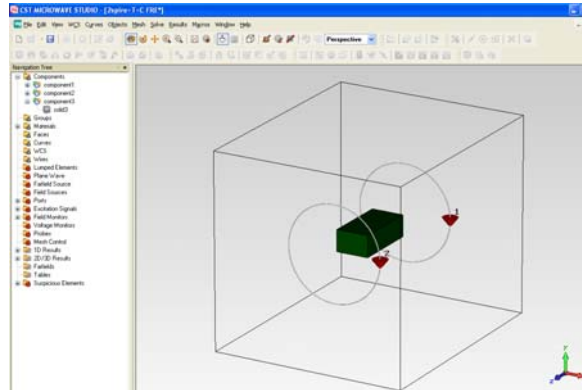
Maxwell coils



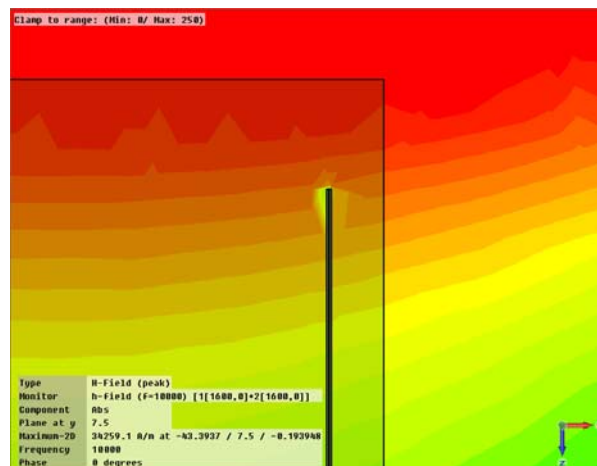
Magnetic field of Maxwell coils



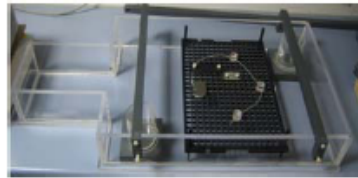
Maxwell coils with the box



H-field Distribution Inside box with pacemaker



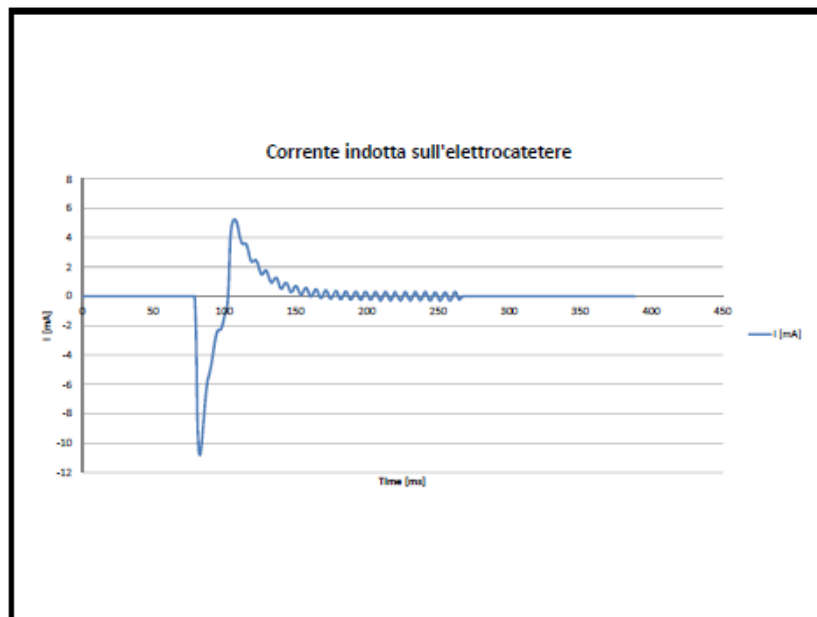
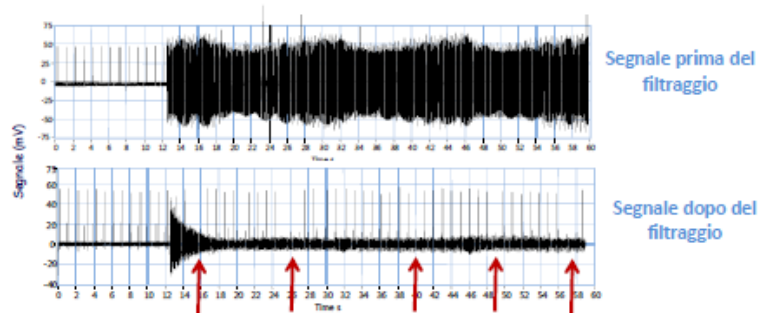
Malfunzionamenti del PM Metodi Sperimentali



Monitoraggio dell'attività del PM durante MRI



Necessità di filtrare il rumore generato dai gradienti

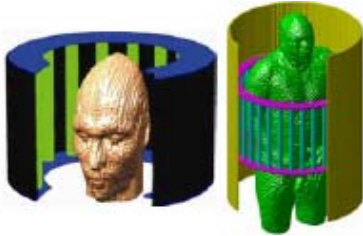


RF Systems for High-Field MRI: Problems and Possible Solutions Based on Computational Electromagnetics

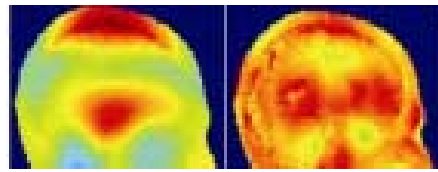
Tamer S. Ibrahim^{1,2}, Roney Abraham², Lin Tang², and Doney Abraham²

¹The University of Pittsburgh, Pittsburgh, Pennsylvania, USA

²The University of Oklahoma, Norman, Oklahoma, USA



9.4 Tesla => 400 MHz



Standard

ottimizzata

SAR Evaluation of Pregnant Woman Models in 64 MHz MRI Birdcage Coil

S. Shamsi, D.G. Wu, J. Chen, R. Liu
Department of Electrical and Computer Engineering
University of Houston
Houston, TX, USA
ji.chen@mail.uh.edu

W. Kainz
CDRH - Center for Devices and Radiological Health
U.S. Food and Drug Administration
Rockville, MD, USA
wolfgang.kainz@fda.hhs.gov

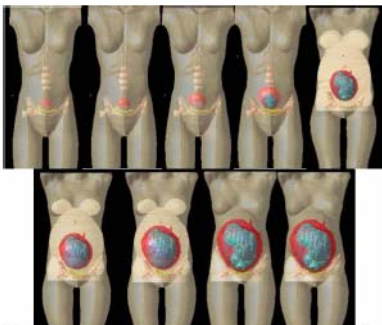


Fig. 3. Nine month pregnant woman models used in this investigation.

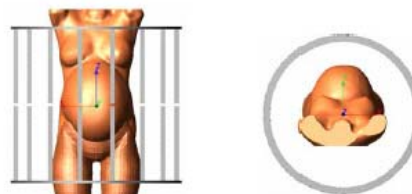


Fig. 4. Positioning of the 8 month model within the MRI RF coil.